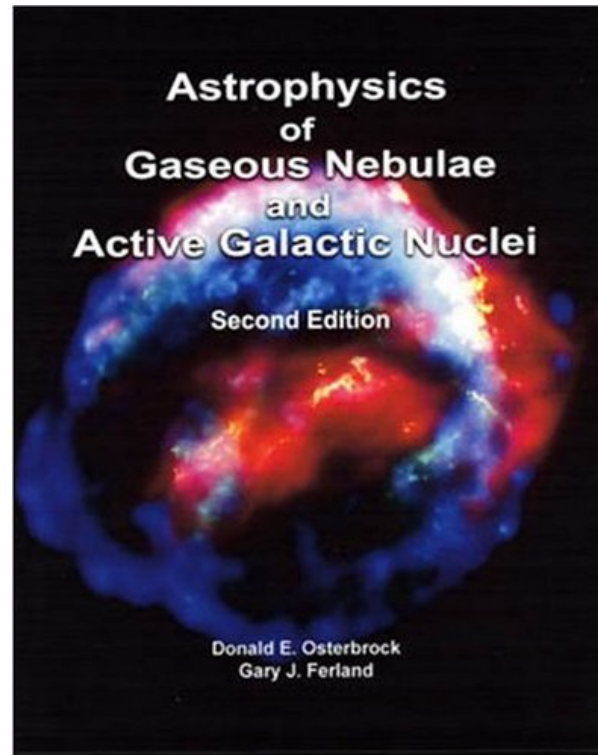


Astrophysics of Gaseous Nebulae and Active Galactic Nuclei



2006-12-07 (Thu.)
Koizumi Osamu



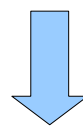
前回

電離ガス雲内の各点での熱平衡を考える

$$(\text{エネルギー獲得量}) = (\text{エネルギー損失量})$$

獲得過程 … 光電離

損失過程 … 再結合、free-free、衝突励起、による放射



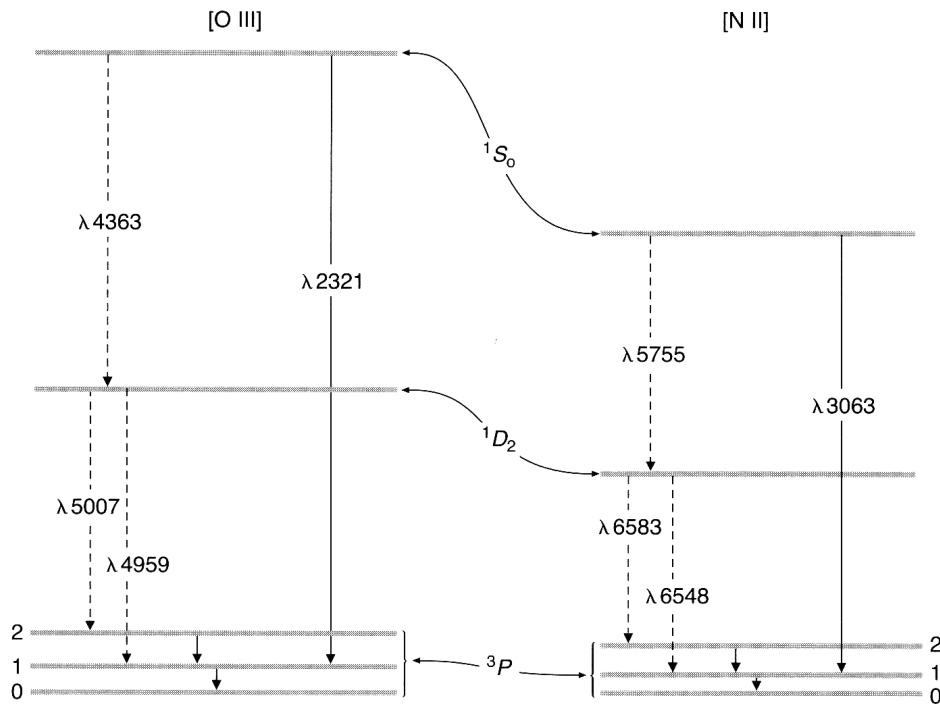
今回はこれについて詳しくみていく



3.5 Energy Loss by Collisionally Excited Line Radiation

O^+ , O^{++} , N^+ などの low-lying energy level の衝突励起放射
非常に重要な放射冷却源

これらのイオンは abundance は小さいが、
 kT のオーダーの励起ポテンシャルのエネルギー準位をもつ。



2000 Å - 6000 Å の光子は
2 eV - 6 eV のエネルギー
1 eV \sim 10^4 K

Fig. 3.1



3.5 Energy Loss by Collisionally Excited Line Radiation

level 1 にあるイオンが電子衝突で level 2 へ励起される

励起に対する断面積 $\sigma_{12}(u)$

$\chi = hv_{21}$ 以下では $\sigma_{12}(u) = 0$, $\chi \approx hv_{21}$ では $\sigma_{12}(u) \propto u^{-2}$

$$\sigma_{12}(u) = \frac{\pi \hbar^2}{m^2 u^2} \frac{\Omega(1,2)}{\omega_1} \quad \text{for} \quad \frac{1}{2} m u^2 > \chi \quad (3.14)$$

$\Omega(1,2)$ collision strength, ω_1 statistical weight

$\Omega(1,2)$ はほぼ一定になるので、これで $\sigma_{12}(u)$ を表すと便利。



3.5 Energy Loss by Collisionally Excited Line Radiation

熱平衡 → 詳細均衡の原理

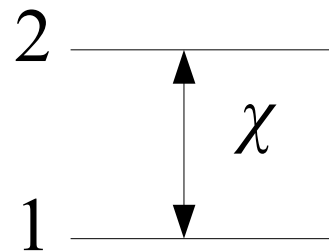
($u_1 \sim u_1 + du_1$ の電子の衝突励起数)
= ($u_2 \sim u_2 + du_2$ の衝突下方遷移数)



$$n_e n_1 u_1 \sigma_{12}(u_1) f(u_1) du_1 = n_e n_2 u_2 \sigma_{21}(u_2) f(u_2) du_2$$

熱平衡のボルツマン方程式より

$$\frac{n_2}{n_1} = \frac{\omega_2}{\omega_1} \exp\left(-\frac{\chi}{kT}\right)$$



$$n_2 \propto \omega_2 \exp\left(-\frac{E + \chi}{kT}\right),$$
$$n_1 \propto \omega_1 \exp\left(-\frac{E}{kT}\right).$$



3.5 Energy Loss by Collisionally Excited Line Radiation

$$n_e n_1 u_1 \sigma_{12}(u_1) f(u_1) du_1 = n_e n_2 u_2 \sigma_{21}(u_2) f(u_2) du_2$$

$$\longrightarrow \frac{n_2}{n_1} = \frac{u_1 du_1 \sigma_{12}(u_1) f(u_1)}{u_2 du_2 \sigma_{21}(u_2) f(u_2)}$$

$$\frac{1}{2} m u_1^2 = \frac{1}{2} m u_2^2 + \chi \quad (3.16) \quad \rightarrow \quad u_1 du_1 = u_2 du_2$$

$$f(u) = \frac{4}{\sqrt{\pi}} \left(\frac{m}{2kT} \right)^{\frac{3}{2}} u^2 \exp\left(-\frac{mu^2}{2kT}\right) \quad (2.6) \quad , \quad \frac{n_2}{n_1} = \frac{\omega_2}{\omega_1} \exp\left(-\frac{\chi}{KT}\right)$$

を用いて,

$$\longrightarrow \frac{\omega_2 u_2^2 \sigma_{21}(u_2)}{\omega_1 u_1^2 \sigma_{12}(u_1)} = \exp\left(-\frac{1}{2} m u_1^2 + \frac{1}{2} m u_2^2 + \chi\right) = 1$$

$$\longrightarrow \omega_2 u_2^2 \sigma_{21}(u_2) = \omega_1 u_1^2 \sigma_{12}(u_1) \quad (3.15)$$



3.5 Energy Loss by Collisionally Excited Line Radiation

$$\left\{ \begin{array}{l} \sigma_{12}(u) = \frac{\pi \hbar^2}{m^2 u^2} \frac{\Omega(1,2)}{\omega_1} \quad \text{for } \frac{1}{2} m u^2 > \chi \quad (3.14) \\ \omega_2 u_2^2 \sigma_{21}(u_2) = \omega_1 u_1^2 \sigma_{12}(u_1) \quad (3.15) \end{array} \right.$$

(3.15) に (3.14) を代入

$$\sigma_{21}(u_2) = \frac{\omega_1 u_1^2}{\omega_2 u_2^2} \sigma_{12}(u_1) = \frac{\cancel{\omega_1} u_1}{\omega_2 u_2^2} \frac{\pi \hbar^2}{m^2 \cancel{u_1^2}} \frac{\Omega(1,2)}{\cancel{\omega_1}}$$

→ $\sigma_{21}(u_2) = \frac{\pi \hbar^2}{m^2 u_2^2} \frac{\Omega(1,2)}{\omega_2} \quad (3.17)$

collision strength は 1, 2 に対して対称な形をしている。



3.5 Energy Loss by Collisionally Excited Line Radiation

結局、単位時間・単位体積あたりの衝突下方遷移率は

$$\begin{aligned} n_e n_2 q_{21} &= n_e n_2 \int_0^\infty u \sigma_{21} f(u) du \\ &= n_e n_2 \left(\frac{2\pi}{kT} \right)^{\frac{1}{2}} \frac{\hbar^2}{m^{3/2}} \frac{Y(1,2)}{\omega_2} \text{ cm}^{-3} \text{ s}^{-1} \quad (3.18) \\ &= \frac{8.629 \times 10^{-6} Y(1,2)}{T^{1/2} \omega_2}. \end{aligned}$$

ここで $Y(1,2)$ は velocity-averaged collision strength で、

$$Y(1,2) = \int_0^\infty \Omega(1,2; E) \exp\left(-\frac{E}{kT}\right) d\left(\frac{E}{kT}\right) \quad (3.19) \quad \text{where} \quad E \equiv \frac{1}{2} m u^2$$

と書かれる。



3.5 Energy Loss by Collisionally Excited Line Radiation

同様に、衝突励起数は $n_e n_1 q_{12}$ と書かれる。ここで

$$n_e n_1 q_{12} = n_e n_2 q_{21} \quad , \quad \frac{n_2}{n_1} = \frac{\omega_2}{\omega_1} \exp\left(-\frac{\chi}{k T}\right)$$

の関係から、

$$\begin{aligned} q_{12} &= \frac{\omega_2}{\omega_1} q_{21} \exp\left(-\frac{\chi}{k T}\right) \\ &= \frac{8.629 \times 10^{-6}}{T^{1/2}} \frac{Y(1,2)}{\omega_1} \exp\left(-\frac{\chi}{k T}\right). \quad (3.20) \end{aligned}$$

collision strength は量子力学を用いて計算する必要がある。
最も重要なものを Table 3.3 ~ 3.7 に載せた。
 $T = 10000$ K で評価したもの。



3.5 Energy Loss by Collisionally Excited Line Radiation

(collision strength) = (エネルギーとともに緩やかに変化)
+ (エネルギーとともに急激に変化)
superimposed resonance contribution

天文学への応用の範囲では、断面積を Maxwell 分布について積分する($\rightarrow 3.19$)ことで共鳴の効果は平均化される。

nebula の典型的な温度 ~ 7500 K では、衝突励起と下方遷移に対する断面積は $\sigma \approx 10^{-15} Y / \omega \text{ cm}^2$ である。

(参考)

電子同士の弾性散乱に対する断面積 $\approx 10^{-13} \text{ cm}^2$

光電離の吸収断面積 $\approx 10^{-18} \text{ cm}^2$

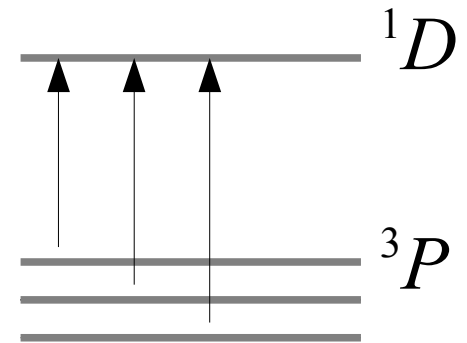


3.5 Energy Loss by Collisionally Excited Line Radiation

一つの level からなる term と、複数の level からなる term のあいだの collision strength には単純な関係が存在する。

$$Y(SLJ, S'L'J') = \frac{(2J'+1)}{(2S'+1)(2L'+1)} Y(SL, S'L') \quad (3.21)$$

$S=0, L=0$ の場合。 $(2J'+1)$ と $(2S'+1)(2L'+1)$ はそれぞれ、level と term の statistical weight.



O^{++} のような p^2 または p^4 イオンの基底 $3P$ から $1D$ と $1S$ 準位への衝突励起率は ${}^3P_0, {}^3P_1, {}^3P_2$ の分布にはほぼ依存しない。



3.5 Energy Loss by Collisionally Excited Line Radiation

Table 3.3 ~ 3.5 中のイオンの全ての low-lying level に対して、励起準位は基底準位として同じ電子配置から生じる。



これらの間の双極子遷移は selection rule で禁止されている。
しかし、磁気双極子または電気四重極子放射で生じる。
多くが紫外、可視、赤外の nebula spectra 中に観測されている。

これらの遷移確率を Table 3.8 ~ 3.14 に載せた。



3.5 Energy Loss by Collisionally Excited Line Radiation

低電子密度極限

衝突励起 → 光子放射

$$L_C = n_e n_1 q_{12} h \nu_{21} \quad (3.22)$$

通常の電子密度

衝突励起 → 光子放射
→ 衝突下方遷移

衝突下方遷移が無視できなくなり、熱平衡方程式は

$$n_e n_1 q_{12} = n_e n_2 q_{21} + n_2 A_{21} \quad (3.23)$$

のようになる。



3.5 Energy Loss by Collisionally Excited Line Radiation

$$n_e n_1 q_{12} = n_e n_2 q_{21} + n_2 A_{21} \quad (3.23)$$

$$\longrightarrow \frac{n_2}{n_1} = \frac{n_e q_{12}}{A_{21}} \left[\frac{1}{1 + n_e q_{21} / A_{21}} \right] \quad (3.24)$$

これより、放射冷却率は

$$\begin{aligned} L_C &= n_2 A_{21} h \nu_{21} \\ &= n_e n_1 q_{12} \frac{1}{1 + (n_e q_{21} / A_{21})} h \nu_{21} \end{aligned} \quad (3.25)$$

$n_e \rightarrow 0$ の極限では (3.23) が再現される。



3.5 Energy Loss by Collisionally Excited Line Radiation

高電子密度極限

$$\begin{aligned} L_C &= n_2 A_{21} h \nu_{21} \\ &= n_1 \frac{n_2}{n_1} A_{21} h \nu_{21} \\ &= n_1 \frac{\omega_2}{\omega_1} \exp\left(-\frac{\chi}{kT}\right) A_{21} h \nu_{21} \quad (n_e \rightarrow \infty) \quad (3.26) \end{aligned}$$

$n_e n_1 q_{12} = n_e n_2 q_{21}$, $\frac{n_2}{n_1} = \frac{\omega_2}{\omega_1} \exp\left(-\frac{\chi}{kT}\right)$

↙

熱力学平衡冷却率



3.5 Energy Loss by Collisionally Excited Line Radiation

いくつかのイオンは2準位だけを持ち、単純な形式で扱えるが、ほとんどのイオンはより多くの level をもつ。

ground configuration に p^2, p^3, p^4 をもつイオンは全て5つの low-lying level をもつ。

ex. O^{++}, N^+

図の全ての準位間で遷移が起こりうる。

平衡方程式は、 $i=1,5$ に対して

$$\sum_{j \neq i} n_j n_e q_{ji} + \sum_{j > i} n_j A_{ji} = \sum_{j \neq i} n_i n_e q_{ij} + \sum_{j < i} n_i A_{ij} \quad (3.27)$$

with $\sum_j n_j = n \quad (3.28)$

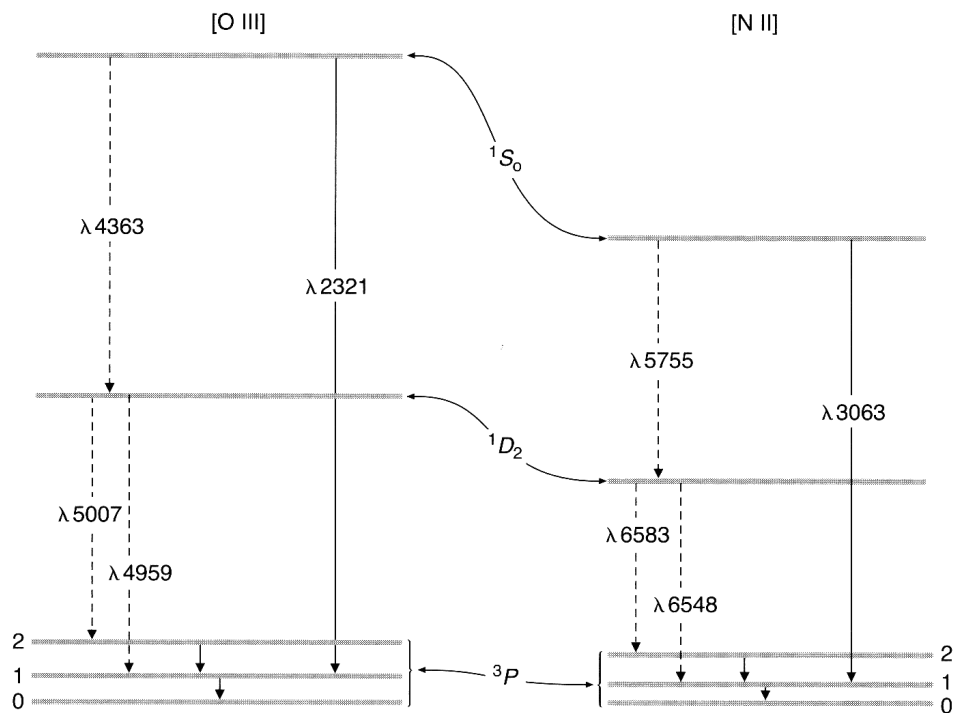


Fig 3.1



3.5 Energy Loss by Collisionally Excited Line Radiation

$$\sum_{j \neq i} n_j n_e q_{ji} + \sum_{j > i} n_j A_{ji} = \sum_{j \neq i} n_i n_e q_{ij} + \sum_{j < i} n_i A_{ij} \quad (3.27)$$

$$\sum_j n_j = n \quad (3.28) \quad \text{for } i = 1, 5$$

これらから、各準位の相対的な割合が決まる。

$$L_C = \sum_i n_i \sum_{j < i} A_{ij} h \nu_{ij} \text{ erg cm}^{-3} \text{ s}^{-1} \quad (3.29)$$

低電子密度極限 $n_e \rightarrow 0$ では、(3.22) のような項の和になる。



3.5 Energy Loss by Collisionally Excited Line Radiation

$$n_e q_{ij} > \sum_{k < i} A_{ik}$$

i, j どちらかに対して、衝突励起が放射遷移を上回ると、衝突下方遷移が無視できず、完全な手法を用いるべき。

準位 i に対する臨界密度

$$n_c(i) = \frac{\sum_{j < i} A_{ij}}{\sum_{j \neq i} q_{ij}} \quad (3.30)$$

放射冷却で重要な level の臨界密度を Table 3.15 に載せてある。

$n_e < n_c(i)$ のとき、衝突下方遷移は無視できる。

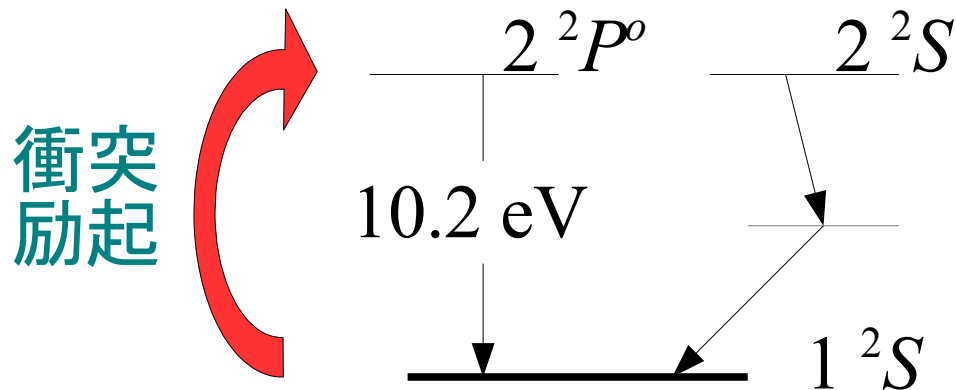
$n_e > n_c(i)$ では重要となる。



3.6 Energy Loss by Collisionally Excited Line Radiation of H

H⁺ nebula で最も豊富 束縛状態無し、line なし

H⁰ abundance は小さい が、放射冷却に寄与する



励起の断面積は u^{-2} には比例しない。

- 閾値までは zero .
- 閾値の数倍でピーク
- 高エネルギー側で減少
- superimposed resonance

それでも (3.18), (3.19) で定義される collision strength は、非常にゆっくりとした変化をする。Table 3.16 参照。



3.7 Resulting Thermal Equilibrium

static nebula の各点での温度は加熱率と冷却率の間の平衡で決定される、つまり

$$G = L_R + L_{\text{FF}} + L_C \quad (3.31)$$

低電子密度

$G, L_R, L_{\text{FF}}, L_C$ の全ての項は n_e と幾つかのイオンの密度に比例する。



(3.31) とその結果である温度は total density には依らない。様々なイオンの相対的な abundance に依存する。



3.7 Resulting Thermal Equilibrium

衝突励起が重要になってくると、ある与えられた温度での冷却率は減少する。



与えられた輻射場での平衡温度はある程度だけ上昇する。

例：典型的な abundance を持つ H II 領域を考える

$$\frac{n(\text{O})}{n(\text{H})} = 7 \times 10^{-4}, \quad \frac{n(\text{Ne})}{n(\text{H})} = 9 \times 10^{-5}, \quad \frac{n(\text{N})}{n(\text{H})} = 9 \times 10^{-5}$$

これ以外の元素は簡単化するため無視する。

それぞれ 80% が単電離、20% が二階電離していると仮定。

$$n(\text{H}^+) / n(\text{H}^0) = 1 \times 10^{-3} \text{ とする。}$$



3.7 Resulting Thermal Equilibrium

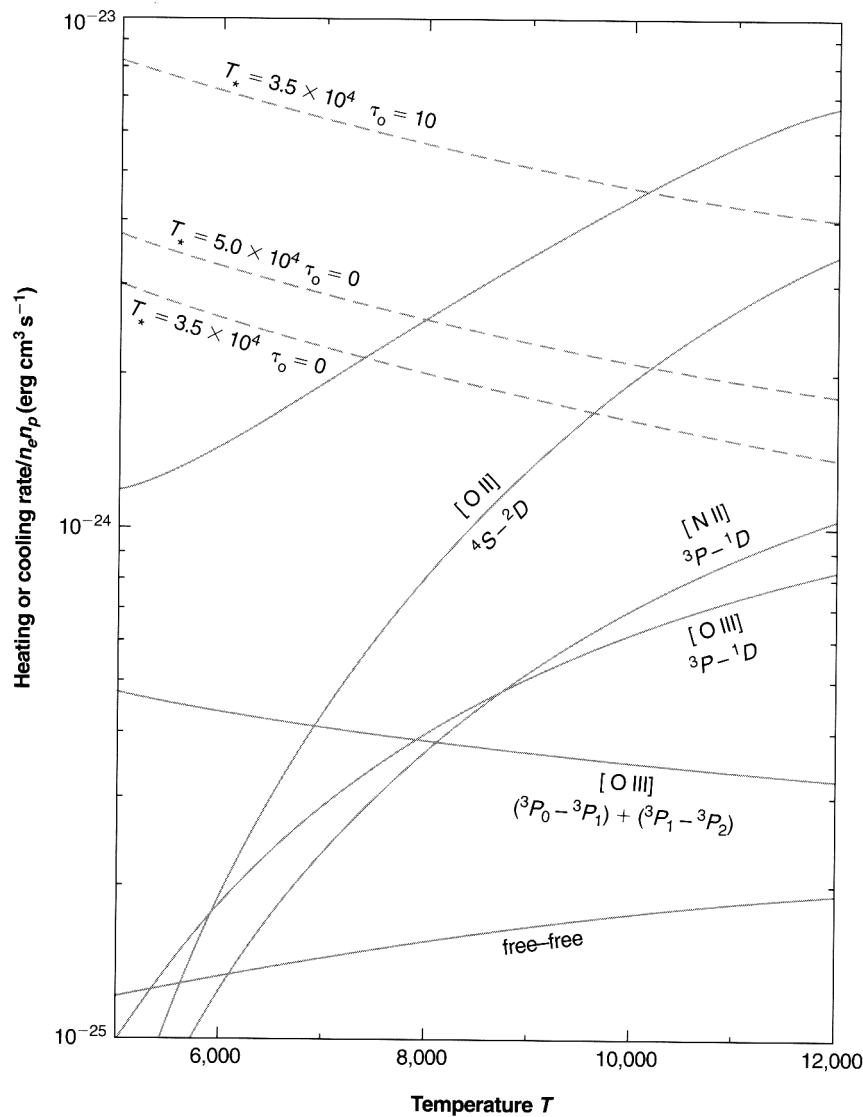


Fig 3.2

衝突励起による放射冷却

$kT \ll \chi$ は L_c への寄与は小さい

$kT \sim \chi$ のあたりでピーク

$kT > \chi$ ではゆるやかに減少

高温側では O^+ が重要な冷却源

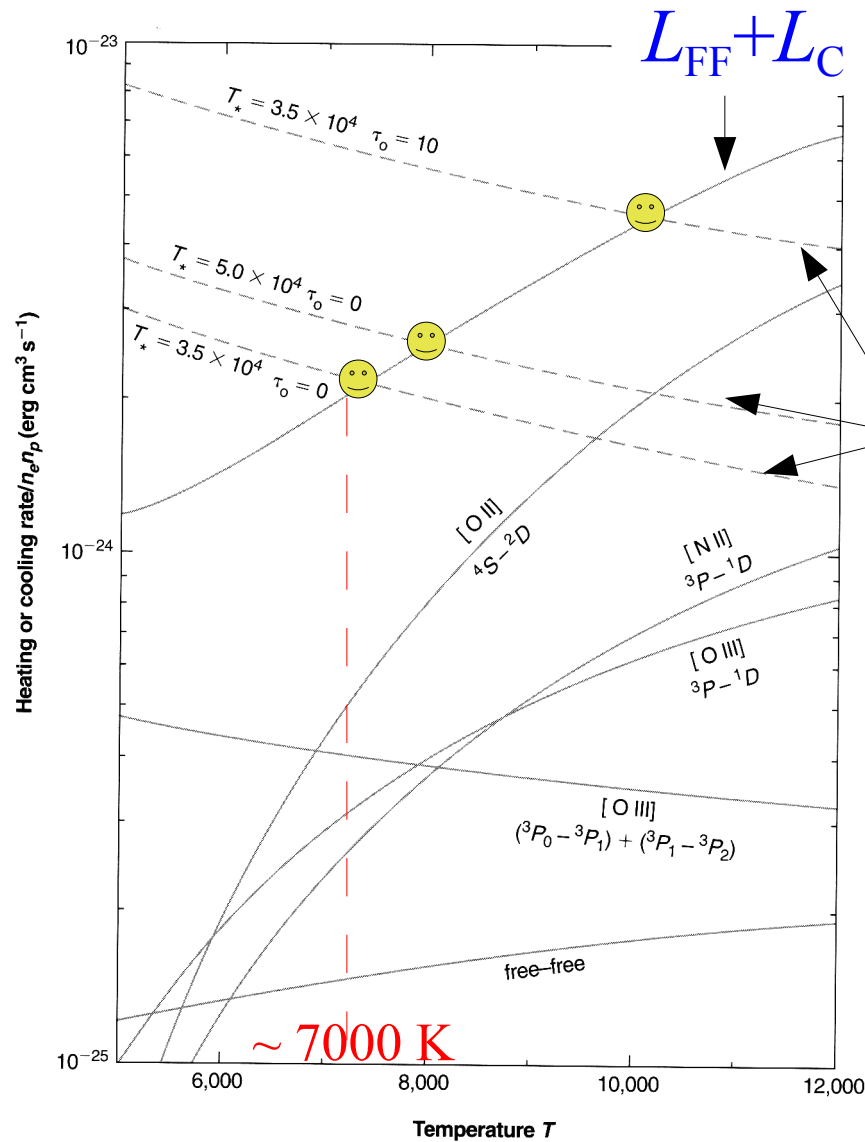
低温側では O^{++} が重要

free-free 放射による冷却

全体を通して寄与は小さい



3.7 Resulting Thermal Equilibrium



(3.31) を次のように書き直す。

$$G - L_R = L_{FF} + L_C$$

左辺は **effective heating rate**

平衡温度は input stellar radiation
にはさほど敏感ではない。😊

nebula の温度は **~ 7000 K**
熱い星、または τ が大きい
ところでは高くなる。

Fig 3.2



3.7 Resulting Thermal Equilibrium

高電子密度下では衝突下方遷移で L_C はかなり修正される。
結果として nebula temperature も変化する。

ex. $n_e \approx 10^4 \text{ cm}^{-3}$ (通常の多くの H II 領域でありうる)

[O II] $^4S - ^2D$, [O III] $^3P_0 - ^3P_1, ^3P_0 - ^3P_2$ 20% 程度が有効

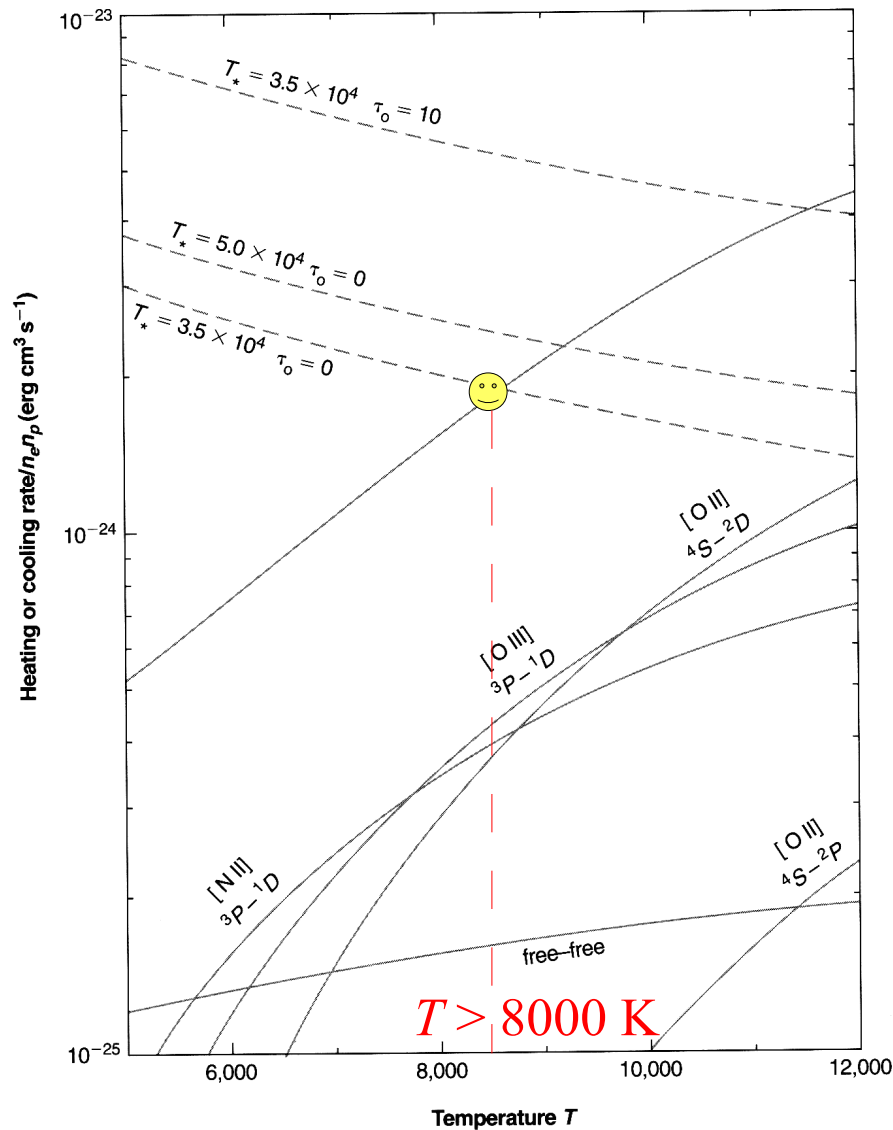
[N II] $^3P_0 - ^3P_1, ^3P_0 - ^3P_2$ 1% 程度が有効

[N III] $^2P_{1/2} - ^2P_{3/2}$ 20% 程度が有効

それぞれの臨界密度が Table 3.15 に載っている。



3.7 Resulting Thermal Equilibrium



$$n_e \approx 10^4 \text{ cm}^{-3}$$

電子密度が高いと冷却率が下がるので、平衡温度が高くなっている。

重元素の abundance が低い場合にも冷却率が下がるので平衡温度は上がる。



3.7 Resulting Thermal Equilibrium

Planetary nebula の中心部のような、非常に高電離なところでは H^0 や O^+ や O^{++} はほとんど存在しない。

→ 放射冷却率はかなり減少する

主要な冷却源は Ne^{+4} や C^{+3} となり $T \leq 2 \times 10^4$ K となる。

H II 領域、planetary nebula の両方のモデルの詳細は 5章。

